

## 付着特性を考慮した全面付着型ロックボルト作用効果の評価

長崎大学工学部 正会員 蒋 宇静

長崎大学工学部 学生員 永家 健司

長崎大学工学部 学生員○森尾 真悟

(株) ケー・エフ・シー技術部 正会員 羽馬 徹

## 1. はじめに

ロックボルトは山岳トンネルや地下空洞などの補強対策として不可欠な支保部材として用いられているが、その定着力の評価は、現場引抜き試験により評価されている。しかしながら、引抜き試験では周辺地山への反力により、ロックボルトの周囲には一様分布な垂直応力が作用せず、ロックボルト表面に沿ったせん断応力も局部的集中を起こしやすくなり付着強度を的確に評価することができない問題点がある。

本研究では、NATM 工法を用いた山岳トンネルにおいて打設されるロックボルトを対象として、一面せん断試験を実施しグラウト部とロックボルトの付着特性および変形剛性をより正確に求めることでロックボルトの支保効果を評価し、また表面形状の異なるロックボルトの付着強度を比較検討することによりロックボルトの支保効果を理論的に考察する。

## 2. 試験概要

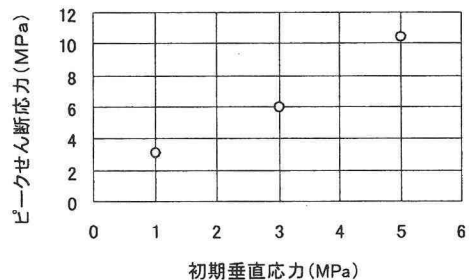
ロックボルトとグラウトとの境界面の付着強度を求めるために、著者らが試作した一面せん断試験機を用いる。せん断供試体としては、ロックボルト（ツイストバー異形棒鋼 TD24）とその周囲のグラウトを平面展開したものを考える（図1）。NATM 工法を用いた山岳トンネルを対象としているため、初期垂直応力  $\sigma$  の設定において、土被り ( $H$ ) は、50～100m と想定し、トンネル周辺の最大垂直応力が 2.5～5MPa となるため、せん断試験では、 $\sigma$  を 1、3、5MPa と変化させた。また、ボルト表面の凹凸によって引き抜く際に周辺地山を押し広げるようだダイレーションが生じることから、周辺岩盤の拘束効果が定着部グラウトの付着強度に影響を及ぼし、ロックボルトの引き抜き抵抗が変わるので、周辺地山の垂直剛性 ( $K_n$ ) を一定に制御しなければならない。ここで堆積岩を想定した地山は日本道路公団分類による C, D I 級物性値を用いて、 $\sigma_c = 3 \sim 10 \text{ MPa}$ 、 $E = 1.0 \sim 3.0 \text{ GPa}$ 、 $\nu = 0.3$  から、 $K_n$  が  $256 \sim 769 \text{ MPa/m}$  と求められるため<sup>1)</sup>、せん断試験では  $K_n$  を 0、300、700MPa/m と 3 段階に変化させる。

## 3. 試験結果と考察

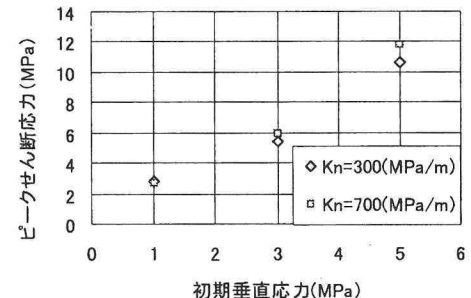
それぞれの試験条件におけるピークせん断応力の比較を図-2 に示す。初期垂直応力の増加に伴ってピークせん断応力はほぼ線形的に増加しているのがわかる。そこで、図-2 の試験結果に対する回帰式を用いてそれぞれの見かけ粘着力  $c_p$ 、摩擦角  $\phi_p$  を求めると、CNL では  $c_p = 0.99 \text{ MPa}$ 、 $\phi_p = 61.53^\circ$  となり、また CNS では各垂直剛性の値を平均して  $c_p = 0.231 \text{ MPa}$ 、 $\phi_p = 64.56^\circ$  となった。垂直剛性の推移とそれぞれの試験ケースでのピークせん断応力における見かけ粘着力  $c_p$ 、摩擦角  $\phi_p$  の関係を図-3 に示す。ここで、



図-1 ロックボルト付着面の展開図



(a) CNL



(b) CNS

図-2 付着面のピークせん断応力の比較

図-3に着目すると、ピーク時においては、垂直剛性の増加に伴い見かけ粘着力  $c_p$  は減少の傾向を示した。また摩擦角  $\phi_p$  は増加の傾向を示し、次の回帰式が求められる。

$$C_p = 0.94 - 0.001K_n \quad (1)$$

$$\phi_p = 61.28 + 0.0068 K_n \quad (2)$$

上式からもわかるように、見かけ粘着力  $c_p$  は垂直剛性に影響を受け、また摩擦角  $\phi_p$  は垂直剛性の影響が小さくほぼ一定の値をとることがわかった。次に、せん断変位 ( $u = 1, 2, 3, 4, \text{mm}$ ) の状態における見かけ粘着力  $c_r$ 、摩擦角  $\phi_r$  を図-4～6に示す。残留段階において図-5、6 からもわかるように、垂直剛性の影響をあまり受ず、せん断変位とともにほぼ一定の値を示す。よって、各せん断変位の強度に対する平均をとり  $K_n$  の推移に伴う  $c_r$ 、 $\phi_r$  のグラフを図-6に示す。図-6から回帰式を求めるところとなる。

$$C_r = 0.266 - 0.00002K_n \approx 0.27 \quad (3)$$

$$\phi_r = 39.36 + 0.0036K_n \quad (4)$$

残留段階では、見かけ粘着力と摩擦角ともに垂直剛性にはほとんど影響されなかつた。またピーク時に比べて粘着力は約 30%、摩擦角は約 35% に減少していた。

この試験結果は、前年度を行つて得られた表面形状の異なるロックボルト (KFC 異形棒鋼 D25) での試験結果<sup>2)</sup>と比較すると、垂直応力の増加に対するピークせん断応力の増加率が大きいことがわかつた。このことから前年度のロックボルト形状に比べて、本研究に用いられたロックボルト付着面の摩擦角が大きく粘着力が小さいという結果が得られた。

#### 4. おわりに

本研究では、表面形状の異なるロックボルトの付着強度特性と周辺地山の変形特性との関係について比較検討した。今後は、著者らの解析手法に試験結果を取り入れて、表面形状の異なるロックボルトの作用効果を理論的に比較検討していく。

#### 参考文献 :

- 1) 棚橋由彦、蒋宇静、佐久間教之、原廣敬：第 57 回土木学会年次学術講演概要集、札幌、第 III 部門、III-660, CD-ROM, 2002
- 2) 棚橋由彦、蒋宇静、谷口雄一郎、蔡躍：平成 14 年度土木学会西部支部研究発表会講演概要集、第 III 部門、A-414, 2003
- 3) 棚橋由彦、蒋宇静、元尾秀行、竹下揚子：第 57 回土木学会年次学術講演概要集、札幌、第 III 部門、III-200, CD-ROM, 2002

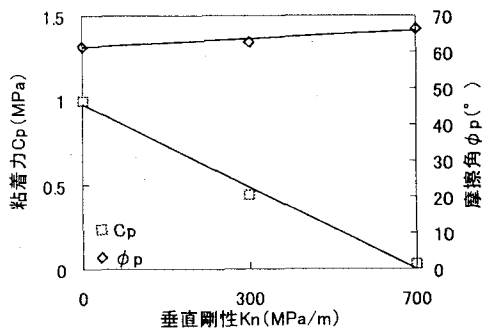


図-3  $K_n$  の推移に伴う  $c_p$ 、 $\phi_p$  の比較

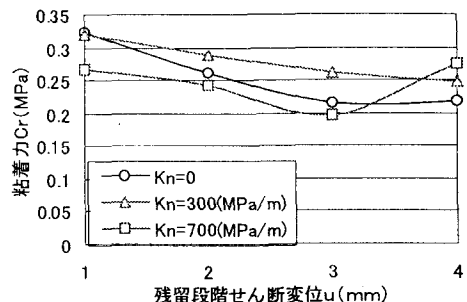


図-4 見かけの粘着力と垂直剛性とせん断変位の関係

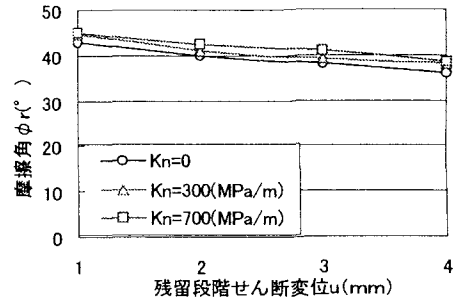


図-5 摩擦角と垂直剛性とせん断変位の関係

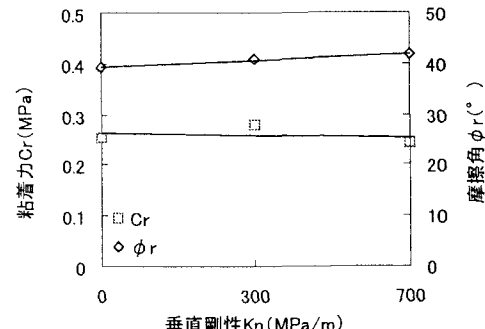


図-6  $K_n$  の推移に伴う平均  $c_r$ 、 $\phi_r$  の比較